

УДК 553.21/24:546.78:541.138

МИНЕРАЛОГИЯ

Г. Р. КОЛОННИН, Г. П. ШИРОНОСОВА

УСЛОВИЯ ОБРАЗОВАНИЯ ФЕРБЕРИТА, ТУНГСТЕНИТА  
И МИНЕРАЛОВ ЖЕЛЕЗА ПО ТЕРМОДИНАМИЧЕСКИМ ДАННЫМ

(Представлено академиком В. С. Соболевым 23 VII 1969)

Ряд авторов (<sup>1-4</sup>) использовали условия образования пар минералов, состав которых представлен одним и тем же катионом, но разными анионами, для оценки физико-химической обстановки гидротермального минералообразования. В тех же целях было предложено использовать реакцию между ферберитом и сульфидами железа (<sup>5</sup>). В данной статье приводятся результаты термодинамических расчетов, позволяющие судить об условиях, которые способствуют связыванию Fe в виде его вольфрамита, и об обстановке, когда железо должно предпочтительнее образовывать минералы более простого состава — сульфиды и окислы. Подобные сведения полезны не только для анализа природных процессов, но и для более правильной постановки соответствующих экспериментальных исследований.

Была использована техника построения диаграмм, подробно описанная Гаррелсом (<sup>6</sup>) и применявшаяся одним из авторов ранее для анализа условий образования минералов висмута (<sup>7</sup>). Все диаграммы построены для температуры 300°, которая должна достаточно хорошо представлять обобщенную температуру образования вольфрамитовых месторождений (<sup>8</sup>). Влияние температуры на минеральные равновесия условно было принято менее существенным, чем влияние pH, окислительного потенциала растворов, активности сульфидной среды, и в данной работе не учитывалось. Из-за недостатка исходных термодинамических величин, в том числе и данных по теплоемкости  $\text{FeWO}_4$ , вслед за (<sup>9-11</sup>) в расчетах пришлось пока ограничиться применением экстраполяционного уравнения Вант-Гоффа, которое предполагает, что  $\Delta H$  реакции не меняется с температурой. Уточнение полученных данных должно привести к определенному изменению  $E^\circ$  соответствующих реакций, а следовательно, и положения линий равновесия относительно оси ординат. Однако это вряд ли вызовет существенное изменение вида диаграмм, поскольку рассчитанный наклон линий равновесия и их расположение друг относительно друга должны остаться прежними. В качестве примера можно сослаться на относительно небольшие изменения, произошедшие при подобном уточнении с диаграммами  $Eh - \text{pH}$  для электрохимических систем  $S - \text{H}_2\text{O}$  (<sup>12</sup>) и  $\text{Bi} - S - \text{H}_2\text{O}$  (наши неопубликованные данные).

Все исходные термодинамические величины взяты из работы (<sup>13</sup>). Единственное исключение составляет  $\text{FeS}$ , для которого использовались  $\Delta Z$  и  $\Delta H$  его высокотемпературной  $\beta$ -модификации, имеющиеся в (<sup>10</sup>).

В табл. 1 сведены данные по наиболее важным, с нашей точки зрения, рассчитанным реакциям. Самые диаграммы представлены на рис. 1 и 2. Граница между полем  $\text{FeWO}_4$  и полями других минералов железа проведена условно при значении активности  $[\text{WO}_4^{2-}] = 10^{-6}$  г-ион/л. Более правильно ее следует рассматривать как относительно широкую «зону». О ширине ее можно судить на основании рис. 1Б, Б, на которых показаны также соответствующие изолинии для активностей  $\text{WO}_4^{2-}$  в растворе, равных  $10^{-7}$  и  $10^{-5}$  г-ион/л.

Результаты расчета электрохимических реакций в системе Fe-W-S-H<sub>2</sub>S

Таблица 1

Номер реакции	Реакция	Z <sub>Fe</sub>	lg K <sub>FeS</sub>	H <sub>2</sub> S	lg K <sub>HS</sub>	Уравнение для 300°
1	FeWO <sub>4</sub> + H <sub>2</sub> S ⇌ FeS + WO <sub>4</sub> <sup>2-</sup> + 2H <sup>+</sup>	12,65	-9,27	-7,02	-41,74	pH = 5,87 + 1/2 lg [WO <sub>4</sub> <sup>2-</sup> ] - 1/2 lg [H <sub>2</sub> S]
1a	FeWO <sub>4</sub> + H <sub>2</sub> S ⇌ FeS + WO <sub>4</sub> <sup>2-</sup> + H <sup>+</sup>	3,1	-2,27	-12,20	-6,58	pH = 6,58 + 1/2 lg [WO <sub>4</sub> <sup>2-</sup> ] - lg [H <sub>2</sub> S]
1b	FeWO <sub>4</sub> + S <sup>2-</sup> ⇌ FeS + WO <sub>4</sub> <sup>2-</sup>	-16,0	-25,0	-25,0	2,9	lg WO <sub>4</sub> <sup>2-</sup> - lg [S <sup>2-</sup> ] = 2,9
1c	FeWO <sub>4</sub> + 2H <sub>2</sub> S ⇌ FeS <sub>2</sub> + WO <sub>4</sub> <sup>2-</sup> + 2H <sup>+</sup>	-3,64	-2,67	-16,22	-8,40	Eh = -0,148 + 0,0567 lg [WO <sub>4</sub> <sup>2-</sup> ] - 0,4134 lg [H <sub>2</sub> S] - 4
2	FeWO <sub>4</sub> + 2HS <sup>-</sup> ⇌ FeS <sub>3</sub> + WO <sub>4</sub> <sup>2-</sup> + 2H <sup>+</sup> + 2e <sup>-</sup>	-15,46	41,33	-26,58	4,95	Eh = -0,14 + 0,0567 lg [WO <sub>4</sub> <sup>2-</sup> ] - 0,4134 lg [HS <sup>-</sup> ] -
2a	FeWO <sub>4</sub> + 2HS <sup>-</sup> ⇌ FeS <sub>3</sub> + WO <sub>4</sub> <sup>2-</sup> + 2H <sup>+</sup> + 2e <sup>-</sup>	-53,6	39,3	-52,44	20,93	Eh = -4,18 + 0,0567 lg [WO <sub>4</sub> <sup>2-</sup> ] - 0,4134 lg [S <sup>2-</sup> ]
2b	FeWO <sub>4</sub> + 2HS <sup>-</sup> ⇌ FeS <sub>3</sub> + WO <sub>4</sub> <sup>2-</sup> + 2H <sup>+</sup> + 2e <sup>-</sup>	75,56	55,4	27,87	-45,56	Eh = 2,57 + 0,170 lg [WO <sub>4</sub> <sup>2-</sup> ] - 0,4536 pH
3	3FeWO <sub>4</sub> + 4H <sub>2</sub> O ⇌ Fe <sub>3</sub> O <sub>4</sub> + 3W <sub>2</sub> O <sub>3</sub> + 8H <sup>+</sup> + 2e <sup>-</sup>	53,77	-39,4	23,45	-34,42	Eh = 4,76 + 0,1434 lg [WO <sub>4</sub> <sup>2-</sup> ] - 0,340 pH
4	2FeWO <sub>4</sub> + 3H <sub>2</sub> O ⇌ Fe <sub>2</sub> O <sub>3</sub> + 2WO <sub>4</sub> <sup>2-</sup> + 6H <sup>+</sup> + 2e <sup>-</sup>	27,23	-49,9	41,49	-5,4	Eh = 0,306 + 0,170 lg [H <sub>2</sub> S] - 0,4134 pH
5	FeS + WS <sub>2</sub> + 4H <sub>2</sub> O ⇌ FeWO <sub>4</sub> + 2H <sub>2</sub> S + 2H <sup>+</sup> + 2e <sup>-</sup>	-9,64	6,6	-9,20	3,35	Eh = -0,190 - 0,0567 lg [H <sub>2</sub> S] - 0,4134 pH
6	FeS + H <sub>2</sub> S ⇌ FeS <sub>2</sub> + 2H <sup>+</sup> + 2e <sup>-</sup>	-18,56	43,6	-14,38	8,52	Eh = -0,483 - 0,0567 lg [H <sub>2</sub> S] - 0,0567 pH
7	FeS + HS <sup>-</sup> ⇌ FeS <sub>2</sub> + H <sup>+</sup> + 2e <sup>-</sup>	37,61	-27,5	48,93	-10,30	Eh = -0,584 + 0,170 lg [H <sub>2</sub> S] - 0,1134 pH
8	3FeS + 4H <sub>2</sub> O ⇌ Fe <sub>3</sub> O <sub>4</sub> + 3H <sub>2</sub> S + 2H <sup>+</sup> + 2e <sup>-</sup>	66,26	-48,58	64,47	-25,83	Eh = 1,465 + 0,170 lg [H <sub>2</sub> S] - 0,2835 pH
9	3FeS + 4H <sub>2</sub> S ⇌ Fe <sub>3</sub> O <sub>4</sub> + 3HS <sup>-</sup> + 4H <sup>+</sup> + 4e <sup>-</sup>	-64,64	47,39	-76,53	20,38	Eh = -0,578 - 0,470 lg [H <sub>2</sub> S] - 0,4434 pH
10	Fe <sub>3</sub> O <sub>4</sub> + 6H <sub>2</sub> S + 2H <sup>+</sup> ⇌ 3FeS <sub>2</sub> + 4H <sub>2</sub> O + 4e <sup>-</sup>	-121,94	89,40	-107,61	54,44	Eh = -1,457 - 0,470 lg [HS <sup>-</sup> ] + 0,0567 pH
11	Fe <sub>3</sub> O <sub>4</sub> + 6HS <sup>-</sup> + 2H <sup>+</sup> ⇌ 3FeS <sub>2</sub> + 4H <sub>2</sub> O + 4e <sup>-</sup>	400,40	-293,55	471,4	-127,24	Eh = 0,328 + 0,0455 lg [SO <sub>4</sub> <sup>2-</sup> ] - 0,1445 pH
12	3FeS <sub>2</sub> + 28H <sub>2</sub> O ⇌ Fe <sub>3</sub> O <sub>4</sub> + 6SO <sub>4</sub> <sup>2-</sup> + 56H <sup>+</sup> + 44e <sup>-</sup>	270,33	-198,49	318,96	-85,60	Eh = 0,324 + 0,0451 lg [SO <sub>4</sub> <sup>2-</sup> ] - 0,1444 pH
13	2FeS <sub>2</sub> + WO <sub>4</sub> <sup>2-</sup> + 3H <sub>2</sub> O ⇌ Fe <sub>3</sub> O <sub>4</sub> + 4SO <sub>4</sub> <sup>2-</sup> + 38H <sup>+</sup> + 30e <sup>-</sup>	108,28	-79,4	147,76	-27,24	Eh = 0,22 + 0,0462 lg [SO <sub>4</sub> <sup>2-</sup> ] - 0,0081 lg [WO <sub>4</sub> <sup>2-</sup> ] -
14	+ 14e <sup>-</sup>					-0,4300 pH
15	2Fe <sub>3</sub> O <sub>4</sub> + H <sub>2</sub> O ⇌ 3Fe <sub>2</sub> O <sub>3</sub> + 2H <sup>+</sup> + 2e <sup>-</sup>	40,49	-7,47	44,62	-2,31	Eh = 0,434 - 0,1434 pH
16	WS <sub>2</sub> + FeS + 4H <sub>2</sub> O ⇌ FeS <sub>2</sub> + WO <sub>4</sub> <sup>2-</sup> + H <sub>2</sub> S + 6H <sup>+</sup> + 4e <sup>-</sup>	30,9	-22,7	25,4	-13,9	Eh = 0,39 + 0,0283 lg [WO <sub>4</sub> <sup>2-</sup> ] + 0,0283 lg [H <sub>2</sub> S] -
17	WS <sub>2</sub> + 4H <sub>2</sub> O ⇌ WO <sub>4</sub> <sup>2-</sup> + H <sub>2</sub> S + 4H <sup>+</sup> + 2e <sup>-</sup>	39,38	-29,2	34,47	-17,14	Eh = 0,972 + 0,0567 lg [WO <sub>4</sub> <sup>2-</sup> ] + 0,4134 lg [H <sub>2</sub> S] -
18	FeWO <sub>4</sub> + H <sub>2</sub> S + Ca <sup>2+</sup> ⇌ FeS + CaWO <sub>4</sub> + 2H <sup>+</sup>	-3,90	2,86	-3,4	4,77	pH = -0,88 - 1/2 lg [Ca <sup>2+</sup> ] - 1/2 lg [H <sub>2</sub> S]
19	FeWO <sub>4</sub> + 2H <sub>2</sub> S + Ca <sup>2+</sup> ⇌ FeS <sub>2</sub> + CaWO <sub>4</sub> + 4H <sup>+</sup> + 2e <sup>-</sup>	-12,9	9,46	-12,3	5,42	Eh = -0,2268 pH - 0,0567 lg [Ca <sup>2+</sup> ] - 0,4134 lg [H <sub>2</sub> S] -
20	FeS <sub>2</sub> + CaWO <sub>4</sub> + 8H <sub>2</sub> O ⇌ FeWO <sub>4</sub> + SO <sub>4</sub> <sup>2-</sup> + Ca <sup>2+</sup> + 16H <sup>+</sup> + 14e <sup>-</sup>	124,9	-94,57	143,9	-40,77	Eh = 0,2268 pH - 0,1296 pH - 0,0462 lg [SO <sub>4</sub> <sup>2-</sup> ] + 0,0081 lg [Ca <sup>2+</sup> ] -
21	2FeWO <sub>4</sub> + 3H <sub>2</sub> O + 2Ca <sup>2+</sup> ⇌ Fe <sub>3</sub> O <sub>4</sub> + 2CaWO <sub>4</sub> + 6H <sup>+</sup> + 2e <sup>-</sup>	20,73	45,20	27,49	-5,6	Eh = 0,348 - 0,4134 lg [Ca <sup>2+</sup> ] - 0,340 pH
22	H <sub>2</sub> S ⇌ 2H <sup>+</sup> + 2e <sup>-</sup>	0	0	0	0	Eh = -0,0567 lg P <sub>H<sub>2</sub>S</sub> - 0,4134 pH
23	H <sub>2</sub> S + 4H <sub>2</sub> O ⇌ SO <sub>4</sub> <sup>2-</sup> + 4OH <sup>+</sup> + 8e <sup>-</sup>	55,96	-41,9	65,8	-48,7	Eh = 0,266 - 0,142 pH
24	HS <sup>-</sup> + 4H <sub>2</sub> O ⇌ SO <sub>4</sub> <sup>2-</sup> + 9H <sup>+</sup> + 8e <sup>-</sup>	46,41	-34,02	60,4	-42,70	Eh = 0,180 - 0,1278 pH

Два участка устойчивости  $\text{FeWO}_4$  на рис. 1A, Б и 2 в действительности следует воспринимать как участки единого общего поля. В пределах изображенной части диаграммы  $Eh - \text{pH}$  они оказались разделенными полем  $\text{FeS}_2$ , хотя и смыкаются за ее пределами при более низких значениях  $\text{pH}$ . На рис. 1Б за счет сокращения размеров области устойчивости пирита поле  $\text{FeWO}_4$  является уже единым.

Следует обратить внимание на то, что приведенные диаграммы отражают различное состояние вольфрама в данной системе. Если он является инертным компонентом, то в пределах полей будут стабильны две твердые фазы. Однако в более щелочных и окисленных растворах становится устойчивым ион  $\text{WO}_4^{2-}$ , что фактически означает переход вольфрама во

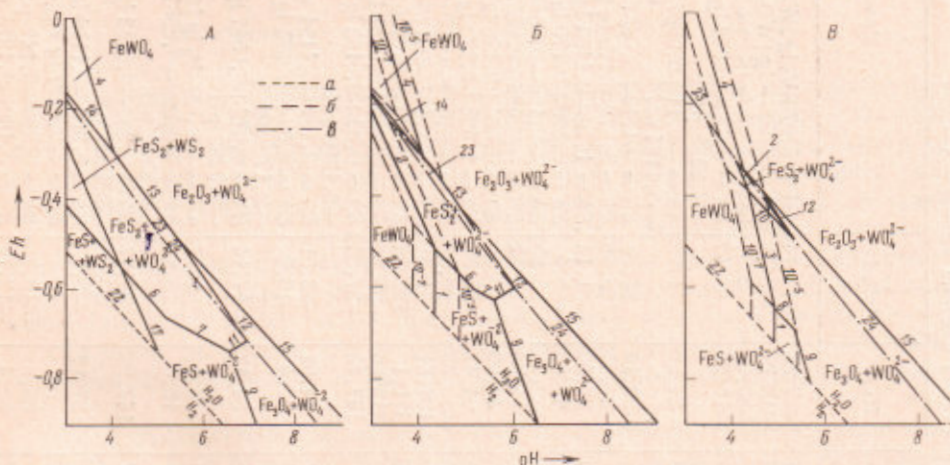


Рис. 1. Диаграммы  $Eh - \text{pH}$  для электрохимической системы  $\text{W} - \text{Fe} - \text{S} - \text{H}_2\text{O}$  при  $300^\circ$ . Валовая активность серы (мол/л): А —  $10^{-2}$ , Б —  $10^{-3}$ , Б' —  $10^{-4}$ . а — линии разложения  $\text{H}_2\text{O}$  при  $P_{\text{H}_2\text{O}} = 1000$  атм.; б — границы полей при активностях иона  $\text{WO}_4^{2-}$ , равных  $10^{-5}$  (Б) и  $10^{-7}$  (Б') г-ион/л; в — линии одинаковой активности  $\text{H}_2\text{S}$  с ионом  $\text{SO}_4^{2-}$ .

вполне подвижное состояние с одновременным соответствующим сокращением числа твердых фаз в системе на единицу.

Наиболее сложно обстоит дело с полем  $\text{FeWO}_4$ . В целом оно может рассматриваться как двухфазное, но состав второй фазы будет зависеть прежде всего от валового состава системы: в избытке ли находится железо или вольфрам относительно состава  $\text{FeWO}_4$ . В случае избытка железа в зависимости от внешних условий вторая фаза будет представлена  $\text{FeS}$ ,  $\text{FeS}_2$ ,  $\text{Fe}_3\text{O}_4$  или  $\text{Fe}_2\text{O}_3$ . При избытке вольфрама либо будет устойчива вторая вольфрамовая фаза ( $\text{WS}_2$  или  $\text{W}$ ), либо вольфрам окажется во вполне подвижном состоянии (устойчив ион  $\text{WO}_4^{2-}$ ). Естественно, что границей различного состояния вольфрама при его избытке будут линии равновесия  $\text{WS}_2 / \text{WO}_4^{2-} + \text{H}_2\text{S}$  или  $\text{W} / \text{WO}_4^{2-}$ . Участки общего поля  $\text{FeWO}_4$ , отличающиеся по фазовому составу, на диаграммах нами не обозначены, во избежание загромождения рисунка.

Построенные диаграммы позволяют высказать ряд соображений о физико-химических условиях образования ферберита\*, тунгstenита и сульфидов железа. В частности, можно ожидать, что ферберит и существенно

\* С нашей точки зрения, выводы из диаграммы можно распространить и на ферберитовую составляющую вольфрамитов промежуточного состава. По предварительным расчетам, соответствующие изменения с гюбнеритовой составляющей должны происходить в существенно иных условиях (при более высоких значениях  $\text{pH}$ ), в результате чего замещение ферберитовой составляющей сульфидами или окислами железа может сопровождаться процессом перекристаллизации более марганцовистого вольфрамита.

железистый вольфрамит будут устойчивы только в слабо кислых растворах (ориентировочный интервал pH от 2,5 до 5,0). В нейтральных и, тем более, в щелочных растворах вольфрамат железа должен замещаться сульфидами или окислами железа, а в сильно кислых восстановительных условиях устойчивым соединением будет тунгстенит  $WS_2$ .

Валовая активность сульфидной серы в гидротермальных растворах, из которых происходило выделение ферберита и вольфрамита, при температуре около  $300^\circ$  вряд ли достигала величины  $10^{-2}$  мол/л. В этих условиях как Fe, так и W должны связываться в сульфиды. Исключительная же редкость тунгстенита еще раз указывает на то, что столь высокая активность сульфидной серы в природных гидротермальных растворах практически никогда не достигается.

Вместе с тем, валовая активность сульфидной серы в гидротермальных растворах при образовании сульфидов Fe вряд ли понижалась ниже величины порядка  $10^{-4}$  мол/л, поскольку в этом случае железо выделялось бы уже в виде магнетита или гематита.

Интересно отметить, что эти выводы довольно хорошо согласуются с результатами расчетов Г. Ф. Ивановой и И. Л. Ходаковского (<sup>14</sup>), рассчитавших условия равновесия для четырех реакций между вольфраматами, молибдатами и сульфидами на основании не опубликованных еще значений свободных энергий образования соединений при повышенных температурах.

Наконец, нашими расчетами намечается, что замещение ферберита и вольфрамита ассоциацией шеелита с сульфидами и окислами железа должно происходить начиная с момента, когда активность иона  $Ca^{2+}$  в растворе превышает величину порядка  $10^{-6}$  г-ион/л (табл. 1, реакции 18–21; рис. 2).

Институт геологии и геофизики  
Сибирского отделения Академии наук ССР  
Новосибирск

Поступило  
2 VIII 1969

#### ЦИТИРОВАННАЯ ЛИТЕРАТУРА

- <sup>1</sup> П. Бартон, В сборн. Термодинамика геохимических процессов, ИЛ, 1960.
- <sup>2</sup> С. Д. Малинин, В сборн. Геохимические исследования в области повышенных давлений и температур, «Наука», 1965.
- <sup>3</sup> Б. Н. Рыженко, В сборн. Геохимические исследования в области повышенных давлений и температур, «Наука», 1965.
- <sup>4</sup> И. Л. Ходаковский и др., Геохимия, № 7 (1966).
- <sup>5</sup> Р. Ю. Орлов, ДАН, 147, № 1 (1962).
- <sup>6</sup> Р. Гаррелс, Минеральные равновесия, ИЛ, 1962.
- <sup>7</sup> Г. Р. Колонни, ДАН, 163, № 1 (1965).
- <sup>8</sup> В. Б. Наумов, Г. Ф. Иванова, В сборн. Минералогия и геохимия вольфрамитовых месторождений, Л., 1967.
- <sup>9</sup> А. А. Маркушев, Геол. рудн. месторожд., № 5 (1963).
- <sup>10</sup> Х. Барис, Г. Куллеруд, В сборн. Проблемы эндогенных месторожд., в. 3, М., 1966.
- <sup>11</sup> И. Л. Ходаковский, Геохимия, № 8 (1966).
- <sup>12</sup> И. В. Дьячкова, И. Л. Ходаковский, Геохимия, № 11 (1968).
- <sup>13</sup> Л. Латимер, Окислительные состояния элементов и их потенциалы в водных растворах, ИЛ, 1954.
- <sup>14</sup> Г. Ф. Иванова, И. Л. Ходаковский, Геохимия, № 4 (1969).

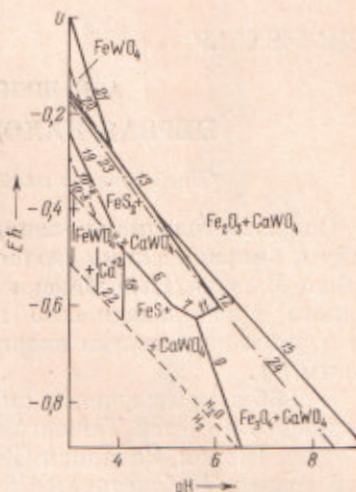


Рис. 2. Диаграмма  $Eh$  — pH для электрохимической системы  $W$  —  $Fe$  —  $S$  —  $H_2O$  в присутствии иона  $Ca^{2+}$  при  $300^\circ$ . Валовая активность серы  $10^{-3}$  мол/л. Обозначения те же, что на рис. 1, но б — граница полей при различных активностях иона  $Ca^{2+}$